

SC

Mg-Ly

VII 3815.

1955

BaTiO₃, CaZrO₃, MgZrO₃, PbTiO₃
(крат. стр.)

Ceramic Industry,

1955, 64, N 5, 115 - 120

Мел

лето ф.к

Mg Zn_x (60-70% Zn) 1960
(красив. цвет па)

Taschov H.-J., Sauerwald F.,
Z. anorg. und allgem. Chem.,
1960, 307, n 3-4, 123

PM, 1961, 5 MC 132 MS

Mo, Lu) x Mg (M, H, K, Li, Ca, Sn)
(красив. вып-ра) 1960

Utikawa P.,

Light Metals, 1960, 10, No. 360

15

PX, 1961, 23 B 319 lll

IX. 2546

1963

MgZnO₃ (ΔH_f),

Трушкова В. Б.,

В сб. "Синтез и окисл. свойства
высоких температур", М., 1963, 308-320.

М. Б.

IX. 1964, 22Б, 354

сotto opus

1967

MgO - ZrO₂

Смесь

из

окислов

6 Б783. Фазовые соотношения в системе ZrO₂—MgO. Grain Clark F. Phase relations in the ZrO₂—MgO system. «J. Amer. Ceram. Soc.», 1967, 50, № 6, 288—290 (англ)

Фазовые соотношения в системе ZrO₂—MgO для интервала т-р 1350—1600° изучены с помощью рентгеновского (прецизионного определения параметров решетки, дифрактометрич. измерения пиков интенсивности и высокотемпературного рентгенофазового анализа) и петрографич. методов. Образцы приготовлены спеканием предварительно прокаленных при 1400° смесей порошков ZrO₂ и MgO при 1470 и 1600° (6 час.) и при 1340° (24 часа), с последующей воздушной закалкой. Растворимость MgO в монокл. ZrO₂ весьма незначительна или отсутствует полностью; в тетрагон. ZrO₂ растворяется

X: 1968. 6

$< 1\%$ MgO. Кубич. тв. р-р ZrO_2 —MgO занимает при 1470° область от ~ 12 до $\sim 14\%$ MgO; при 1600° от 10,7 до 15,6% MgO. Наличие гистерезиса перехода тетрагон. $ZrO_2 \rightleftharpoons$ монокл. ZrO_2 усложняет изучение фазовых равновесий при т-рах ниже 1240° . При нагреве переход фиксируется в интервале 1140 — 1240° , при охлаждении в области 1000 — 500° . Л. В. Шведов

1968

MgO-ZrO₂

Система

из

окислов

6 Б914. Исследование кривой ликвидуса в системе ZrO₂-MgO с помощью солнечной печи. Noguchi Tetsuo, Mizuno Masao. Liquidus curve measurements in the ZrO₂-MgO system with the solar furnace. «Bull. Chem. Soc. Japan», 1968, 41, № 7, 1583-1587 (англ.)

С помощью солнечной печи гелиостатного типа исследована кривая ликвидуса системы ZrO₂-MgO. Кривые охлаждения снимались при помощи оптич. пирометра. Ошибка измерения т-ры составляла ±20° при 3000° К и ±15° при 2000° К. Исходные окислы ZrO₂ и MgO тщательно смешивались, прокаливались в электрич. печи при 1700° в течение 6 час., а затем спрессовывались в таблетки 6×6×35 мм при давл. 4000 кг/см². Закаленные образцы исследовались рентгеновским методом и с по-

ж. 1969 : 6

мощью петрографич. микроскопа. Построена кривая ликвидуса системы ZrO_2-MgO . Эвтектич. точка установлена при 50 мол. % MgO и т-ре $2113 \pm 15^\circ$. Максимум на кривой ликвидуса при 12,5 мол. % MgO объяснен образованием новой кубич. фазы с оптич. углом $2V = -74^\circ$, распадающейся на монокл. и тетрагон. фазы при повторном нагревании при 1300° . В закаленных образцах, содержащих MgO до 12,5% мол. %, присутствуют тв. р-ры на основе монокл. ZrO_2 . За исключением области, очень богатой ZrO_2 (до 5 мол. % MgO), в образцах всегда присутствует кубич. фаза. Периклаз появляется начиная с 30 мол. % MgO .

А. Борина

1969

 $Mg_2Zr_5O_{12}$ $Mg_2Hf_5O_{12}$

крист.

смп-ра

5 Б1146. О существовании и структуре нового соединения M_7O_{12} в системах двуокись циркония — окись магния и двуокись гафния — окись магния. De la magge Claude. Sur l'existence et la structure d'un nouveau composé M_7O_{12} dans les systèmes zircone—magnésie et oxyde de hafnium—magnésie. «С. г. Acad. sci.», 1969, С269, № 2, 113—115 (франц.)

Указывается на существование в системах ZrO_2 — MgO и HfO_2 — MgO метастабильных соединений $Mg_2Zr_5O_{12}$ (I) и $Mg_2Hf_5O_{12}$ (II), имеющих ромбоэдрич. структуру с параметрами a 6,178А, $\alpha=99^\circ35'$ для I и a 6,1444А, $\alpha=99^\circ35'$ для II. Фаза I существует в узкой области т-р вблизи точки плавления и распадается при понижении т-ры на двухфазную область кубич. тв. р-ра и MgO . А. М. Гавриш

X. 1970.5

1969

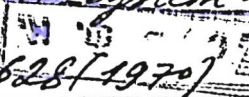
IX MgO-ZrO₂-SiO₂
a, b, c

IX 894

Mossain D., Brett N.H.

Trans. Brit. Ceram. Soc., 1969, 68, 145-150

Phase equilibria in ternary
systems containing zirconia and
silica. III. The system MgO-ZrO₂-SiO₂.

PX, 45628 [1970]  (Φ) ul. 7

MgO - ZrO₂

Система

1971

из

открыт

4 Б866. Определение кривой ликвидуса в системе ZrO₂-MgO с использованием солнечной печи. Noguchi Tetsuo, Mizuno Masao. Liquidus curve measurements in the ZrO₂-MgO system with the solar furnace. «Нагоря корё гидзюцу сикэнсё хококу, Repts Govt Ind. Res. Inst. Nagoya», 1971, 20, № 1, 23—28 (англ., рез. япон.)

Кривая ликвидуса системы ZrO₂-MgO определена с использованием солнечной печи типа «гелиостат». Кривые охлаждения получены визуальным методом с помощью яркостного пирометра. Образцы закаленные из расплава

2, 1972, 4

исследованы рентгеновским, хим. и микроскопич. методами анализа. Образцы изготовлены спеканием смесей окислов при 1700° . Установлена аномалия в ходе кривой ликвидуса при 7,5; 12,5 и 17,5 мол. % MgO. В закаленных образцах расплава с 5—12,5 мол. % MgO установлена неидентифицированная кубич. фаза, к-рая легко распадается на монокл. и тетрагон. фазы при повторном нагревании до 1300° . Эвтектика расположена при 50 мол. % MgO и 2113° .

Л. В. Шведов

Система

$MgO-ZrO_2$ —

1972

из

ожидать

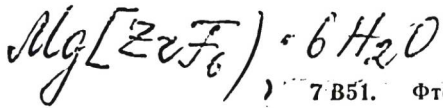
18 Б722. Механизм распада флюоритоподобных твердых растворов в системах ZrO_2-MgO и $ZrO_2-MgO-Y_2O_3$. Тихонов П. А., Кузнецов А. К., Келер Э. К., Кузнецова С. Н., Удалов Ю. П. «Докл. АН СССР», 1972, 204, № 3, 661—663

Приведены результаты параллельного исследования структурных и конц-ионных соотношений в процессе распада тв. р-ров, с целью выяснения последовательности протекающих процессов и особенностей влияния Y_2O_3 , находящейся в составе трехкомпонентных тв. р-ров, на их устойчивость. Исследование с помощью рентгеноспектрального микроанализа показало, что при длительном нагревании при 1200° в системе ZrO_2-MgO

X. 1972-18

окись магния выделяется по границам зерен тв. р-ра. В результате этого кубич. тв. р-р распадается с выделением тетрагон. фазы. Окись иттрия в составе трехкомпонентных тв. р-ров не диффундирует на периферию, подобно MgO , но остается равномерно распределенной в объеме крист. зерна и тем самым способствует сохранению кубич. тв. р-ра. Установлены концентронные соотношения в тв. р-рах при 1200, 1400, 1600°. Автореферат

1974



7 В51. Фторокомплексы циркония с некоторыми двухвалентными металлами. León M. A., Espinel Valencia M., Rodríguez García F. J. Fluocomplejos de circonio con algunos metales divalentes. «Ion» (Esp.), 1977, 37, № 430—431, 269—272 (исп.; рез. англ.)
 Реакцией ZrO_2 и соотв-щих MCO_3 в HF (к-те) при послед. упаривании и охлаждении получены $M[ZrF_6] \cdot 6H_2O$ (I) ($M=Mg, Ni, Co, Cu, Zn, Cd$). Нагреванием I до 250° выделены соотв-щие $M[ZrF_6]$. Определены т. пл., плотности и мол. объемы синтезированных соединений, а также электропроводность $Cd[ZrF_6]$ в воде.
 В. Левин

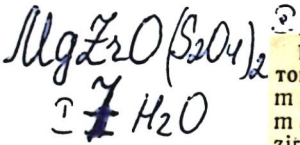
(Tm)

(+4)



2, N 7, 1978

1981



1 Б954. Термические исследования цирконилосалатов магния, бария и свинца. Sharma Anand Kumar, Kumar Shyam, Kaushik Narender Kumar. Thermal studies on magnesium, barium and lead zirconyl oxalates. «Thermochim. acta», 1981, 47, № 2, 149—156 (англ.)

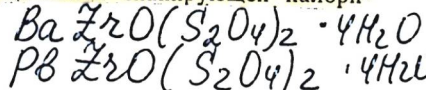
термические
исследования

С помощью термоаналитич. методов, ИК-спектроскопии и элементарного анализа изучено термич. поведение в атмосфере N_2 и O_2 цирконилосалатов $MZrOX_2 \cdot xH_2O$, где $M = Mg, Ba$ или Pb (I—III соотв.), $X =$

$= S_2O_4$, $x = 7$ для Mg и 4 для Ba и Pb . Установлено, что термораспад I—III протекает через 3 основных этапа — дегидратацию, превращение оксалатов в карбонаты и карбонатов в цирконаты. Газовая атмосфера на характер разложения влияет слабо. Ниже приводятся последовательные стадии разложения, их т-рные интервалы и теплоты р-ций ΔH , определенные методом дифференциальной сканирующей калори-

(+2)

x. 1982, 19AB, N1.



метрии в N_2 . I—III \rightarrow $MZrOX_2 + xH_2O$, Mg 298—523 К и 26,35 ккал/моль, Ba 333—473 и 10,01 (в O_2), Pb 303—453 и 6,68; $2MgZrOX_2 \rightarrow Mg_2Zr_2O_4 - XCO_3 + 3CO + 2CO_2$ 523—593 и 27,44, $Mg_2Zr_2O_4XCO_3 \rightarrow Mg_2Zr_2O_5CO_3 + CO + CO_2$ 593—653 и 43,29; $2BaZrOX_2 \rightarrow Ba_2Zr_2X_3CO_3 + CO$ 473—623 и 48,94, $Ba_2Zr_2O_2X_3CO_3 \rightarrow Ba_2Zr_2O_5CO_3 - (CO_2) + 2CO_2 + 3CO$ 623—683 и 7,81, $Ba_2Zr_2O_5CO_3 - (CO_2) \rightarrow Ba_2Zr_2O_5CO_3 + CH_2$ (выделение захваченного CO_2) 693—933, —; $2PbZrOX_2 + Pb_2Zr_2O_5CO_3 + 4CO + 3CO_2$ 453—593 и 10,24; $Me_2Zr_2O_5CO_3 \rightarrow 2MZrO_3 + CO_2$, Mg 673—733 и 7,57, Ba 948—1013, —, Pb 603—723 и 5,22. По методу Коута и Редферна вычислены кажущиеся энергии активации E и порядок р-ций для 2-ой и последней стадии термич. разложения каждого из соединений. Значения E равны соотв.: Mg 38,76 и 15,5, Ba 13,73 и 79,8, Pb 15,05 и 27,34 ккал/моль. Порядок р-ций во всех случаях 1-й.

Р. Г. Сагитов

$\text{Al}_2\text{Zr}_2\text{O}_4(\text{CO}_3)\text{CO}_3$ [ommuch 12794] 1981.

$\text{Al}_2\text{Zr}_2\text{O}_5\text{CO}_3$

Sharma A.K.
et al.

(ΔH_{tr} , T_{tr})

Thermochim. acta,
1981, 47, 149-156.

ZrO₂-MgO

1981
Stubican V.S.,
et al

газобар
гидратация (Sci. Technol. Zirconia),
25-36.

(see ZrO₂-CaO; (ii))

Mg - Zr

1985

/ 106: 163223w The Mg-Zr (magnesium-zirconium) system. Nayeb-Hashemi, A. A.; Clark, J. B. (Dep. Metall. Eng., Univ. Missouri, Rolla, MO 65401 USA). *Bull. Alloy Phase Diagrams* 1985, 6(3), 246-50, 293-4 (Eng). The phase diagram of the Mg-Zr system was critically assessed. Invariant reactions in the system, liquidus and solidus temps. and solid solubilities are given. The enthalpy and entropy of soln. of Zr in liq. Mg are also given.

(orig. graph)

C. A. 1987, 106, N 20.

$MgZr_4(PO_4)_6$

1992

/ 12 53116. Структура каркаса, фазовый переход и транспортные свойства в соединениях $M^{II}Zr_4(PO_4)_6$ ($M^{II} = Mg, Ca, Sr, Ba, Mn, Co, Ni, Zn, Cd$ и Pb). Framework structure, phase transition, and transport properties in $M^{II}Zr_4(PO_4)_6$ compounds ($M^{II} = Mg, Ca, Sr, Ba, Mn, Co, Ni, Zn, Cd, and Pb$) /Nomura K., Ikeda S., Ito K., Einaga H.

//Bull. Chem. Soc. Jap. .—1992 .—65 ,№ 12 .—С. 3221—3227 .—Англ.

Методами РСТА, плазменной эмиссионной спектроскопии, электронного микропробного анализа, ДСК (в диапазоне т-р 20—1000°С на скорости сканирования 5 К/мин), денситометрии и комплексными импедансными измерениями исследовано фазовое поведение порошков систем $M^{II}Zr_4(PO_4)_6$ с $M^{II} = Mg, Ca, Zr, Ba, Mn, Co, Ni, Zn, Cd$ и Pb . Соед. с $M = Mg, Co, Ni$ и Zn имеют структуру типа $\beta-Fe_2(SO_4)_3$ и обладают переходом типа порядок—беспорядок между 600 и 720°С. Соед. с $M = Ca, Sr, Ba, Cd$ и Pb имеют структуру типа NASICON

H_2



(19)

X. 1993, N/2

и никаких переходов в исследованном интервале t -р не обнаруживают. Соед. с $M=Mn$, спеченое при $900^\circ C$, принадлежит к 1-му типу (переход при $500^\circ C$), а спеченное при более высоких t -рах — ко второму типу. Наивысшей проводимостью обладают соед. с $M=Zn$ и Mn .

В. А. Ступников



$Zr_{1-x}Mg_xO_{2-x}$

1992

21 Б3167. Энтальпии кристаллизации аморфных оксидов $Zr_{1-x}Mg_xO_{2-x}$ /Резницкий Л. А., Филиппова С. Е. //Неорган. матер. —1992.—28, № 5.—С. 1128—1129.—Рус.

Исследовано влияние MgO как возможного ингибитора процесса кристаллизации аморф. $ZrO_2[ZrO_2(ам.)]$. Экспериментально определены t -ры и энтальпии кристаллизации тв. р-ров $Zr_{1-x}Mg_xO_{2-x}$. Показано, что введение примеси MgO в ZrO_2 значительно повышает t . крист. нелегированного $ZrO_2(ам.)$. Ингибирующее влияние MgO на повышение термостабильности $ZrO_2(ам.)$ обусловлено торможением процесса кристаллизации ZrO_2 вследствие преодоления потенциального барьера при изменении КЧ Mg^{2+} в результате перехода $MgO_6 \rightarrow MgO_8$. Энтальпию кристаллизации MgO (ам.) определить не удалось. Энтальпия образования $MgZrO_3$ оценена из приближенного ур-ния для ильменитов и для нее получено $\Delta_f H = -13,5$ кДж/моль. Структура фаз определялась методом РФА.

В. Ф. Байбуз

X. 1992, № 21

AlgZrDz

1993

Lospodinov f.f.,
Marchev V.M.,

Ср, мермеј.
Ф-III

Thermochem. Acta 1993,
222 (11), 143-7

ZrO₂-MgO

1993

Yin X., Argent B.B.,

par. quap.
δ_{5H}⁰

J. Phase Equilib. 1993,
14(4), 439-50.

(ill.

● ZrO₂-CaO; I)